

以开孔的二维 MFI 纳米片为构筑单元制备沸石片膜

吴云琴¹ 郑璐康¹ 陈琦¹ 俞梦婷¹ 王金桂² 张富民¹ 肖强^{*,1} 朱伟东¹

(¹浙江师范大学先进催化材料教育部重点实验室,金华 321004)

(²齐鲁工业大学化学与制药工程学院,济南 250353)

摘要: 以食人鱼溶液(体积比为3:1的95%~98%(w/w)H₂SO₄和30%(w/w)H₂O₂混合液)处理多层MFI(ML-MFI)除去有机结构导向剂(OSDA),经超声剥离和沉降纯化后得到了开孔的MFI沸石纳米片。采用X射线衍射(XRD)、扫描电镜(SEM)、透射电镜(TEM)、N₂吸附-脱附、傅立叶变换红外光谱(FT-IR)和热重分析(TGA)等手段对得到的MFI沸石纳米片进行表征,发现食人鱼溶液处理可移除ML-MFI中的OSDA,再经超声剥离得到可分散、开孔的MFI沸石纳米片。将MFI沸石纳米片用简单抽滤的方式沉积到自制Al₂O₃载体上,不经二次生长得到了连续的沸石纳米片膜。单组分气体渗透性能测试结果表明,制备的MFI沸石纳米片膜对正/异丁烷的理想选择性为4.1~5.8,正丁烷的渗透速率为2.2×10⁻⁷~4.1×10⁻⁷ mol·m⁻²·s⁻¹·Pa⁻¹。

关键词: 沸石;膜;纳米结构;纳米片;食人鱼溶液;异构体分离

中图分类号: TQ028.8 **文献标识码:** A **文章编号:** 1001-4861(2019)01-0089-06

DOI: 10.11862/CJIC.2019.012

Fabrication of Zeolite Membranes Using Two-Dimensional Open-Pore MFI Nanosheets as Building Blocks

WU Yun-Qin¹ ZHENG Lu-Kang¹ CHEN Qi¹ YU Meng-Ting¹ WANG Jin-Gui²

ZHANG Fu-Min¹ XIAO Qiang^{*,1} ZHU Wei-Dong¹

(¹Key Laboratory of the Ministry of Education for Advanced Catalysis Materials,
Zhejiang Normal University, Jinhua, Zhejiang 321004, China)

(²School of Chemistry and Pharmaceutical Engineering, Qilu University of Technology, Jinan 250353, China)

Abstract: Open-pore MFI zeolite nanosheets were prepared by removal of organic structure-directing agents (OSDA) from a multilamellar MFI zeolite (ML-MFI) using a mixture of 95%~98%(w/w)H₂SO₄ and 30%(w/w)H₂O₂ with V_{H₂SO₄}:V_{H₂O₂}=3:1 (known as piranha solution), followed by ultrasonication for exfoliation and sedimentation for purification. The exfoliated MFI zeolite nanosheets were characterized by various techniques, such as X-ray diffraction (XRD), scanning electron microscope (SEM), transmittance electron microscope (TEM), N₂ adsorption-desorption, Fourier transform infrared spectrometer (FT-IR) and thermal gravimetric analyzer (TGA), etc., indicating that OSDA was removed after the piranha solution treatment and dispersed, open-pore MFI nanosheets were obtained followed by exfoliation through ultrasonication. Continuous MFI nanosheet membranes were prepared by depositing the open-pore MFI nanosheets on home-made alumina disc supports by a simple vacuum-assisted filtration method. Single gas permeance tests on the MFI zeolite nanosheet membranes indicated that ideal selectivities for n-butane over i-butane of 4.1~5.8 with a permeance of n-butane of 2.2×10⁻⁷~4.1×10⁻⁷ mol·m⁻²·s⁻¹·Pa⁻¹ were achieved.

Keywords: zeolites; membranes; nanostructures; nanosheets; piranha solution; isomer separation

收稿日期:2018-09-03。收修改稿日期:2018-11-12。

国家自然科学基金(No.21471131,21576243)和浙江省新苗人才计划资助项目(No.2017R404018)资助。

*通信联系人。E-mail:xiaoq@zjnu.cn

0 引言

二维材料如(氧化)石墨烯,具有低至单原子层的厚度、高柔韧性、化学惰性等一些特性^[1-4],以其为构筑单元制备的超薄(氧化)石墨烯片膜,在气体分离^[4-6]、水纯化^[7-8]、离子筛分^[9]等方面均显示了良好的性能。杨维慎及其合作者^[10-11]通过湿球磨法剥离层状金属有机骨架(MOF),制备了孔径为0.21 nm、厚度为1 nm的MOF纳米片,以其为构筑单元直接制备了超薄MOF膜,借助于MOF骨架中微孔的分子筛分作用,得到的MOF膜显示了较高的气体渗透速率和分子尺寸选择性。此外,Zhong等^[12]将直接合成的二维层状沸石类咪唑骨架(ZIF)ZIF-L铺到多孔载体上,经二次生长后制备了晶体取向ZIF膜,显示了一定的H₂/N₂和H₂/CO₂分离性能。Ying等^[13]通过氧化石墨烯(GO)辅助的层层叠装方法将二维共价三嗪基骨架(CTF-1)纳米片沉积制备了超薄共价有机骨架(COF)膜,该膜在H₂-CO₂分离中显示了较高的H₂渗透速率。

相比于石墨烯片膜、MOF及COF纳米片膜,沸石分子筛膜具有微孔性、耐高温、耐溶胀、分子筛分等特性,在高效膜分离过程中(如CO₂-H₂、醇-水分离、二甲苯分离等)具有广阔的应用前景^[14-16]。沸石分子筛膜通常采用二次生长法合成,即是先将沸石晶种预先涂覆在载体上,然后晶化后再焙烧。刘秀凤等^[17]将通过二次生长制备的silicalite-1膜进行表面改性,改性后乙醇的分离因子较之前提高了5倍,最高可达21.6。张飞等^[18]在含氟体系中,在大孔莫来

石支撑体上预涂覆晶种快速合成了取向生长的T型分子筛膜,展现了良好的异丙醇/水分离性能。罗益韦等^[19]考察了晶种尺寸形貌及晶化温度对T型沸石膜的形成演化过程以及分离性能的影响,采用合适尺寸晶种制得了良好水热稳定性及耐酸性的高性能T型沸石膜。Tsapatsis课题组通过聚苯乙烯(PS)熔融共混的方式剥离多层结构的MFI(Multilamellar MFI,ML-MFI)沸石,得到了可分散的二维沸石纳米片。将其沉积到多孔载体上,经二次生长制备了超薄、*b*轴取向的MFI沸石分子筛膜^[20]。值得注意的是,PS熔融共混法剥离后的MFI沸石纳米片中含有有机结构导向剂(OSDA),直接构筑的MFI沸石纳米片膜经焙烧除去OSDA后并无选择性。最近我们采用一种湿氧化方法处理该MFI沸石纳米片,得到了无OSDA的MFI型沸石纳米片,然后将其沉积在多孔高分子平板载体聚苯并咪唑(PBI)上,未经二次生长直接制备了MFI沸石纳米片膜,该沸石片膜显示了一定的丁烷异构体选择性(正/异丁烷选择性约为5.4)^[21]。该法首先需要经过PS熔融共混剥离ML-MFI,再通过湿氧化法除去模板剂,由于PS熔融共混法存在剪切力过大、剥离过程复杂等问题,难以得到大尺寸沸石纳米片。本文采用食人鱼溶液先除去ML-MFI中的OSDA,削弱层间作用力,然后在超声作用下剥离ML-MFI,得到了大尺寸、开孔的MFI沸石纳米片。将得到开孔的MFI沸石纳米片沉积在多孔Al₂O₃载体上制备了MFI沸石纳米片膜,该膜显示了一定的丁烷异构体选择性(图1)。

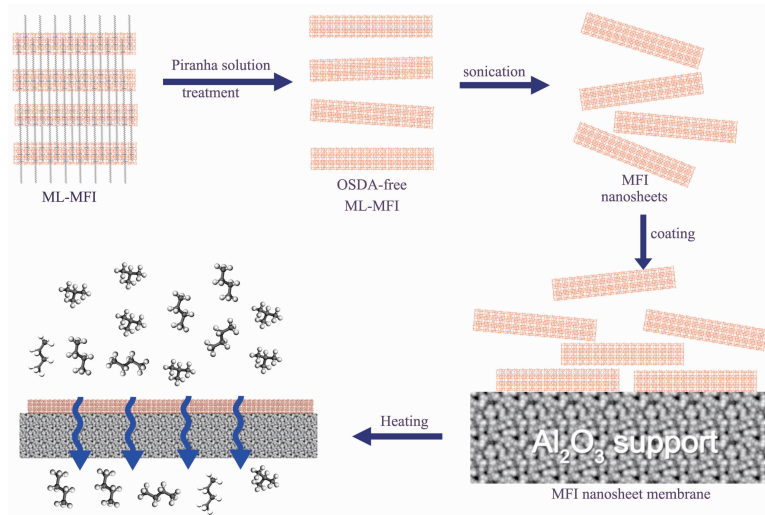


图1 ML-MFI沸石剥离及MFI沸石纳米片膜制备过程示意图

Fig.1 Schematic of the exfoliation of ML-MFI and fabrication of MFI nanosheets membranes

1 实验方法

1.1 MFI沸石纳米片的制备

多层 MFI(ML-MFI)参照文献合成^[21]。将合成的 ML-MFI 用食人鱼溶液(体积比为 3:1 的 95%~98% (w/w) H_2SO_4 和 30% (w/w) H_2O_2 混合液)80 °C 处理 24 h, 重复 4 次。然后在 45 kHz 下水浴超声 10 h, 沉降 7 d 后取上清液即可得到开孔的 MFI 沸石纳米片悬浮液。

1.2 MFI 沸石纳米片膜的制备

氧化铝载体参照文献制备^[24]。取 10 g 去离子水, 滴加 68% (w/w) HNO_3 调节 pH 值为 2.2, 分多次加入 10 g α - Al_2O_3 , 取 30 μL 正辛醇加入到氧化铝悬浊液中, 超声 90 min 后脱泡, 形成均匀分散的悬浊液。取 2.4 mL 氧化铝悬浊液滴于模具中, 在 13~14 kPa 压力下抽滤, 形成的 3 mm 厚的载体在烘箱中 80 °C 干燥, 再置于马弗炉中 1 050 °C 焙烧 3 h, 即可得到表面光滑的氧化铝载体。自制的 Al_2O_3 载体片在使用之前用食人鱼溶液浸泡使其表面羟基化。取 2 mL MFI 沸石纳米片悬浮液滴到载体上, 负压下抽滤, 晾干后, 80 °C 干燥便可得到连续的 MFI 沸石纳米片膜。

1.3 表征

扫描电子显微镜(SEM)采用日本 Hitachi S-4800 型仪器, 加速电压为 5 kV, 样品喷金后测试; 透射电子显微镜(TEM)采用日本 JEOL 公司生产的 JEM-2100F 型显微镜, 加速电压 200 kV; X 射线衍射(XRD)在 Bruker 生产的 D8 Advance 型 X 射线衍射仪上测定, $\text{Cu K}\alpha$ 靶, 入射光波长 $\lambda=0.154 \text{ nm}$, 电压 40 kV, 电流 40 mA, 扫描速率 $2.4^\circ \cdot \text{min}^{-1}$, 扫描步长 0.03° , 扫描范围 $2\theta=0.5^\circ \sim 40^\circ$; 77 K 下 N_2 吸附-脱附等温线于美国 Micromeritics 公司 ASAP 2020 物理吸附仪上测定, 样品测定前在 623 K 下真空脱气 4 h。红外光谱(FT-IR)在 Nicolet NEXUS670 型红外光谱仪上测定, 扫描范围为 4 000~400 cm^{-1} 。热重分析(TG)在德国 NETZSCH 公司 STA-449C 型热重分析仪上进行, 升温速率 $10 \text{ K} \cdot \text{min}^{-1}$, 空气气氛。

1.4 单组分气体渗透性能测试

采用真空-体积法测试膜的单组分渗透性能^[22], 根据透过侧压力随时间的升高计算单组分气体渗透速率(P), 单位为 $\text{mol} \cdot \text{m}^{-2} \cdot \text{s}^{-1} \cdot \text{Pa}^{-1}$ 。测试温度为 293 K, 气体流速为 30 $\text{mL} \cdot \text{min}^{-1}$, 测试压力为 $1.0 \times$

10^5 Pa 。理想选择性为 $\alpha_{n/i}=P_n/P_i$, 其中 P_n 为正丁烷渗透速率, P_i 为异丁烷渗透速率。

2 结果与讨论

合成的 ML-MFI 在 $2\theta=1^\circ \sim 5^\circ$ 之间有 2 个衍射峰, 归属于平行于 b 轴方向的层状结构衍射峰^[23], 根据布拉格方程 $2d\sin\theta=n\lambda$, 其中 d 为晶面间距, θ 为入射 X 射线与相应晶面的夹角, λ 为 X 射线的波长, n 为衍射级数, 计算可知(100)晶面间距 $d_{100}=6.15 \text{ nm}$; 在 $7^\circ \sim 10^\circ$ 和 $22^\circ \sim 25^\circ$ 之间的衍射峰为典型 MFI 结构衍射峰(图 2a)。经食人鱼溶液处理和超声剥离后, 在 $1^\circ \sim 5^\circ$ 之间没有观察到衍射峰, 说明经处理后 ML-MFI 的层状结构消失; 而在高角度区归属于 MFI 结构的衍射峰清晰可见, 表明处理后的样品仍保持 MFI 晶体结构(图 2b)。

从红外光谱图看出, ML-MFI 经过食人鱼溶液处理后, 在 $2 850 \sim 3 000$ 和 $1 300 \sim 1 500 \text{ cm}^{-1}$ 处归

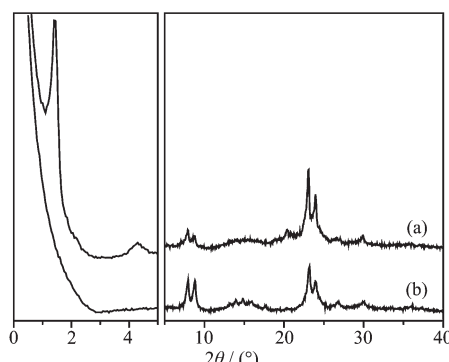


图 2 (a) ML-MFI 原粉和(b) 剥离的 MFI 纳米片的 XRD 图

Fig.2 XRD patterns of (a) as-synthesized ML-MFI and (b) exfoliated MFI nanosheets

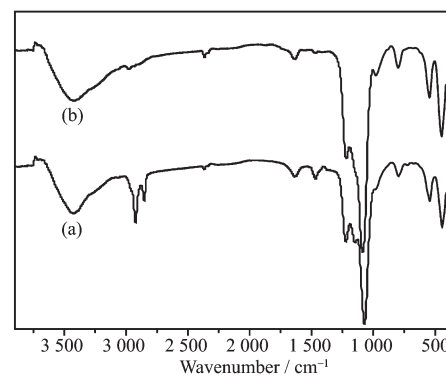


图 3 (a) ML-MFI 原粉和(b) 剥离的 MFI 纳米片的 FT-IR 图

Fig.3 FT-IR spectra of (a) as-synthesized ML-MFI and (b) exfoliated MFI nanosheets

属于OSDA的C-H键的伸缩振动峰和弯曲振动峰几乎全部消失，说明有机模板剂物种从ML-MFI的孔道中被有效脱除；且观察到450以及554 cm⁻¹处对应于MFI型分子筛T-O-T的特征峰并未有明显变化，剥离的MFI沸石纳米片在980 cm⁻¹处出现振动峰，表明经食人鱼溶液处理后，沸石骨架中出现T-OH结构^[24]。

ML-MFI经过食人鱼溶液处理前后的热失重曲线图显示(图4)，ML-MFI原粉在473 K下开始快速失重，一般认为这对应于沸石分子筛中有机结构导向剂的分解，到923 K时失重结束，最终失重率为41.6%；经过食人鱼溶液处理1次后，失重率为19.4%。本文中OSDA分子式为([C₂₂H₄₅-N^{+(CH₃)₂-C₆H₁₂-N^{+(CH₃)₂-C₆H₁₃]Br₂, C₂₂₋₆₋₆Br₂)，在ML-MFI合成后C₂₂H₄₅端(占C₂₂₋₆₋₆总重54.6%)在MFI层间，而-N^{+(CH₃)₂-C₆H₁₂-N^{+(CH₃)₂-C₆H₁₃}端(占45.4%)在MFI层内，根据失重率推断，经过食人鱼溶液1次处理后，除去了位于ML-MFI层间的C₂₂H₄₅端，而-N^{+(CH₃)₂-C₆H₁₂-N^{+(CH₃)₂-C₆H₁₃}端仍在ML-MFI的层内。ML-MFI经过食人鱼溶液2次处理后，使位于ML-MFI层内的-N^{+(CH₃)₂-C₆H₁₂-N^{+(CH₃)₂-C₆H₁₃}端进一步分解，其失重率降至8.8%；食人鱼溶液处理4次后失重率最终为3.7%。采用更多的处理次数并不能明显减少失重，但是会带来回收率降低等问题，因此我们采用食人鱼溶液处理4次后剥离ML-MFI。}}}}}

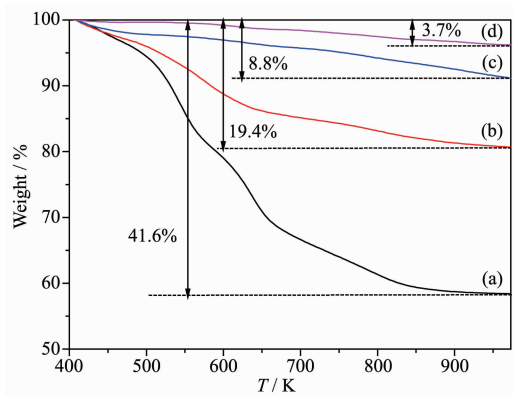


图4 (a) ML-MFI原粉和食人鱼溶液处理(b) 1、(c) 2、(d) 4次后样品的热重曲线

Fig.4 TG curves of (a) as-synthesized and piranha solution treated ML-MFI for (b) one, (c) two and (d) four time

合成的ML-MFI沸石中含有OSDA，孔道被OSDA占据而不能被利用。对食人鱼溶液处理4次后的ML-MFI沸石进行77 K下N₂吸附-脱附测试，

该曲线在低压区N₂吸附等温线快速上升，是典型的I型等温线。在中高压存在“回滞环”，这是由ML-MFI中MFI片层堆砌形成的介孔引起的。在相对压力为0.01时N₂的微孔吸附量约为82 cm³·g⁻¹，比表面积(S_{BET})为388 cm²·g⁻¹。将该样品进一步在823 K下高温焙烧5 h后，其吸附等温线并未有明显变化，在相对压力为0.01时N₂的微孔吸附量约为85 cm³·g⁻¹，S_{BET}为396 cm²·g⁻¹。对比文献报道^[21]，可以认定剥离后的MFI沸石纳米片孔道中的OSDA被移除，孔道打开。

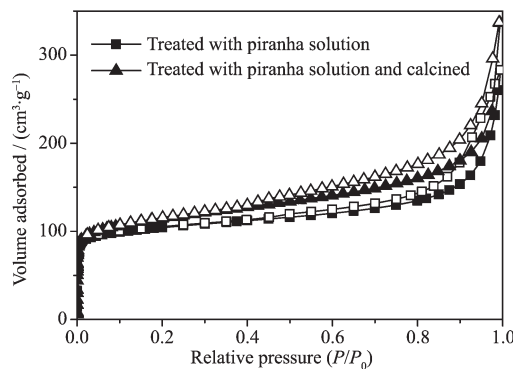


图5 77 K下经食人鱼溶液处理后(a)和食人鱼溶液处理再焙烧后的(b)ML-MFI沸石的N₂吸附-脱附等温线

Fig.5 N₂ adsorption-desorption isotherms at 77 K of ML-MFI treated with piranha solution (a) and treated with piranha solution and calcined (b)

合成的ML-MFI是一种具有花瓣层状结构的晶体，大小为5 μm左右(图6a)。经食人鱼溶液处理和超声剥离后，沉降纯化移除未剥离的MFI颗粒，得到了可分散的MFI沸石纳米片，相比于PS熔融共混法剥离ML-MFI得到的沸石纳米片(~200 nm)^[20]，本文得到的MFI沸石纳米片更大，其尺寸可达1 μm以上，大尺寸的纳米片更有利于构筑沸石片膜(图6b)。从TEM照片可清楚地观察到MFI纳米片具有规则的b轴方向上的直孔道(图6c)，该MFI沸石纳米片可容易地分散在去离子水中，具有明显的丁达尔效应(图6d)。

将此开孔的MFI沸石纳米片通过简单抽滤的方式沉积到氧化铝片状载体上，经干燥后得到MFI沸石纳米片膜。图7(a,d)为氧化铝载体的表面形貌，其表面平整，孔隙均匀。MFI沸石纳米片沉积在载体上之后，纳米片层之间紧密地结合在一起，形成连续的沸石纳米片膜(图7(b,e))。食人鱼溶液处理消除ML-MFI中OSDA的同时，也会使MFI沸石纳米

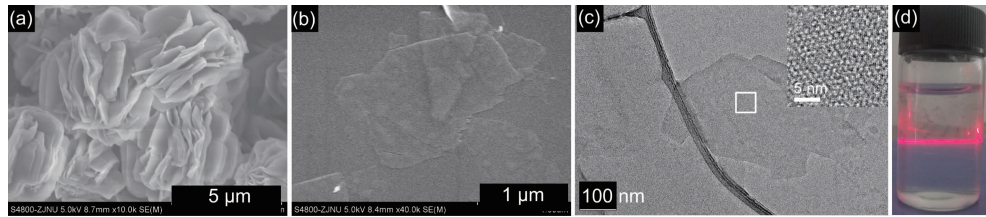


图 6 (a) ML-MFI 原粉和(b) 剥离的 MFI 沸石纳米片的 SEM 图; (c) 剥离的 MFI 沸石纳米片的 TEM 图;
(d) MFI 沸石纳米片悬浮液的丁达尔效应照片

Fig.6 SEM images of (a) ML-MFI and (b) exfoliated MFI nanosheets; (c) TEM image of exfoliated MFI;
(d) Photograph of Tyndall effect of MFI nanosheet aqueous solution

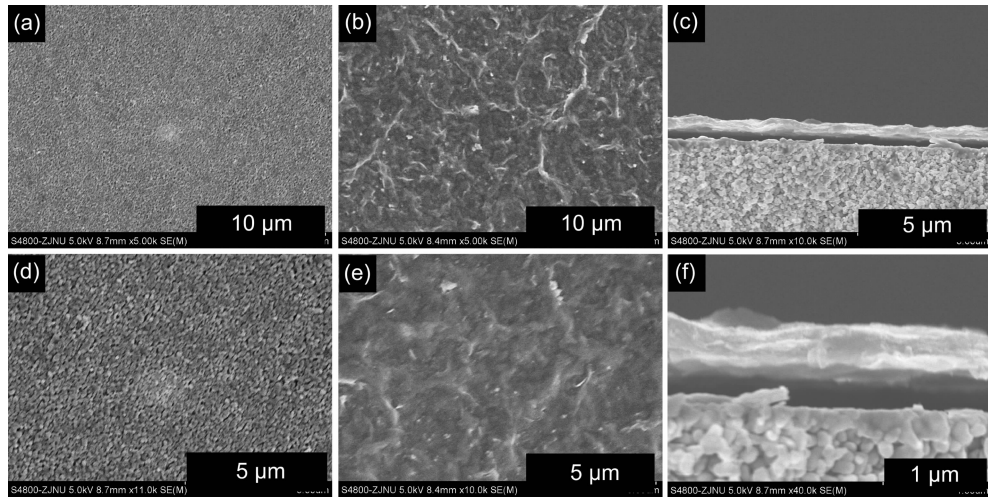


图 7 氧化铝载体表面 (a, d)、MFI 沸石纳米片膜表面 (b, e) 和截面 (c, f) 的 SEM 图

Fig.7 Top-view SEM images of (a, d) alumina disc support, (b, e) MFI nanosheet membrane and
(c, f) cross-sectional ones of MFI nanosheet membrane

片表面羟基化,这些表面富羟基的纳米片在载体表面沉积并移除溶剂后,依靠羟基作用力(主要是氢键)结合到一起形成沸石纳米片膜。从 MFI 沸石纳米片膜截面 SEM 图可以看出(图 7(c,f)),MFI 沸石纳米片沉积到载体上,不需二次生长和高温焙烧过程,仅通过加热移除溶剂,就在载体表面形成了连续的纳米片膜。纳米片层之间紧密结合在一起,膜层内没有出现缺陷,膜厚度约为 400 nm。沸石纳米片膜有从载体表面脱离迹象,表明沸石纳米片膜与载体间的作用力仍有待加强;但另一方面也说明 MFI 沸石纳米片间作用力较强,能形成连续的沸石片膜。增强沸石纳米片膜与载体间的作用力以及降

低膜厚度有可能解决膜脱落问题。

平行制备了 3 个沸石纳米片膜,并分别进行丁烷异构体单组份渗透性能测试,结果见表 1。制备的沸石纳米片膜显示了一定的丁烷异构体选择性,正丁烷对异丁烷的理想选择性为 4.1~5.8 之间,正丁烷渗透速率在 2.2×10^{-7} ~ 4.1×10^{-7} mol·m⁻²·s⁻¹·Pa⁻¹ 之间,这与先前报道的在高分子载体上制备的 MFI 沸石纳米片膜具有相近的异构体分离性能^[21]。虽然仍大幅低于 Agrawal 等^[25]通过二次生长并焙烧后制备的 MFI 沸石膜的丁烷异构体选择性(正/异丁烷选择性为 47~62),但该结果表明采用先除 OSDA 再剥离的方法得到的 MFI 沸石纳米片作为构筑单元,可以

表 1 MFI 沸石纳米片膜单组分气体渗透性能

Table 1 Pure gas permeance performance on MFI zeolite nanosheet membranes

Membrane	$P_n / (\text{mol} \cdot \text{m}^{-2} \cdot \text{s}^{-1} \cdot \text{Pa}^{-1})$	$P_i / (\text{mol} \cdot \text{m}^{-2} \cdot \text{s}^{-1} \cdot \text{Pa}^{-1})$	α_{ni}
1	2.2×10^{-7}	3.8×10^{-8}	5.8
2	1.6×10^{-7}	2.9×10^{-8}	5.4
3	4.1×10^{-7}	1.0×10^{-7}	4.1

构筑具有异构体选择性的MFI沸石纳米片膜。在实验中,我们发现采用未纯化的MFI沸石纳米片制备的膜无异构体选择性,这可能是未剥离的MFI沸石颗粒破坏了纳米片膜的整体性,使得膜失去选择性。通过采用进一步纯化的MFI沸石纳米片和加强沸石纳米片间的作用力,有望得到具有更高选择性的MFI沸石纳米片膜。

3 结 论

采用多次食人鱼溶液处理的方式可移除ML-MFI中的OSDA,经超声剥离并沉降纯化后得到了可分散、大尺寸、开孔的MFI沸石纳米片。将开孔的MFI沸石纳米片沉积到氧化铝载体上制备了连续的MFI沸石纳米片膜,丁烷异构体渗透测试结果显示MFI沸石膜对正/异丁烷的理想选择性为4.1~5.8,正丁烷通量为 $2.2 \times 10^{-7} \sim 4.1 \times 10^{-7}$ mol·m⁻²·s⁻¹·Pa⁻¹。以开孔的MFI沸石纳米片为构筑单元,不经二次生长直接制备沸石纳米片膜,开辟了一条新的沸石分子筛膜制备途径。

参考文献:

- [1] Geim A K, Novoselov K S. *Nat. Mater.*, **2007**, *6*(3):183-191
- [2] Coleman J N, Lotya M, O'Neill A, et al. *Science*, **2011**, *331*(6017):568-571
- [3] Zhuang X D, Mai Y Y, Wu D Q, et al. *Adv. Mater.*, **2015**, *27*(3):403-427
- [4] Ding L, Wei Y Y, Wang Y J, et al. *Angew. Chem. Int. Ed.*, **2017**, *56*(7):1825-1829
- [5] Kim H W, Yoon H W, Yoon S M, et al. *Science*, **2013**, *342*(6154):91-95
- [6] Li H, Song Z N, Zhang X J, et al. *Science*, **2013**, *342*(6154):95-98
- [7] Han Y, Xu Z, Gao C, et al. *Adv. Funct. Mater.*, **2013**, *23*(29):3693-3700
- [8] Shen H P, Wang N X, Ma K, et al. *J. Membr. Sci.*, **2017**, *527*:43-50
- [9] Chen L, Shi G S, Shen J, et al. *Nature*, **2017**, *550*:380-383
- [10] Peng Y, Li Y S, Ban Y J, et al. *Science*, **2014**, *346*(6215):1356-1359
- [11] Peng Y, Li Y S, Ban Y J, et al. *Angew. Chem. Int. Ed.*, **2017**, *56*(33):9757-9761
- [12] Zhong Z X, Yao J F, Chen R Z, et al. *J. Mater. Chem. A*, **2015**, *3*(30):15715-15722
- [13] Ying Y P, Liu D H, Ma J, et al. *J. Mater. Chem. A*, **2016**, *4*(35):13444-13449
- [14] Morigami Y, Kondo M, Abe J, et al. *Sep. Purif. Technol.*, **2001**, *25*(1/2/3):251-260
- [15] Caro J, Noack M. *Microporous Mesoporous Mater.*, **2008**, *115*(3):215-233
- [16] Lai Z P, Bonilla G, Diza I, et al. *Science*, **2003**, *300*(5618):456-460
- [17] LIU Xiu-Feng(刘秀凤), LIU Wei(柳伟), ZHENG Meng-Yao(郑孟瑶), et al. *Chinese J. Inorg. Chem.*(无机化学学报), **2014**, *30*(12):2706-2712
- [18] ZHANG Fei(张飞), ZHENG Yi-Hong(郑艺鸿), GUI Tian(桂田), et al. *Chinese J. Inorg. Chem.*(无机化学学报), **2014**, *30*(8):1845-1854
- [19] LUO Yi-Wei(罗益伟), PAN En-Ze(潘恩泽), CHU Jing-Jing(褚晶晶), et al. *Chinese J. Inorg. Chem.*(无机化学学报), **2018**, *34*(7):1351-1364
- [20] Agrawal K V, Zhang X, Elyassi B, et al. *Science*, **2011**, *334*(6052):72-75
- [21] Zhang H, Xiao Q, Guo X H, et al. *Angew. Chem. Int. Ed.*, **2016**, *55*(25):7184-7187
- [22] WANG Ya-Dan(王亚丹), XIAO Qiang(肖强), ZHONG Yi-Jun(钟依均), et al. *Acta Phys.-Chim. Sin.*(物理化学学报), **2017**, *33*(10):2058-2063
- [23] Na K, Park W, Seo Y, et al. *Chem. Mater.*, **2011**, *23*(5):1273-1279
- [24] Ding H, Ni X X, Zhang Y X, et al. *CrystEngComm*, **2017**, *19*(24):3263-3270
- [25] Agrawal K V, Topuz B, Phan T C T, et al. *Adv. Mater.*, **2015**, *27*(21):3243-3249